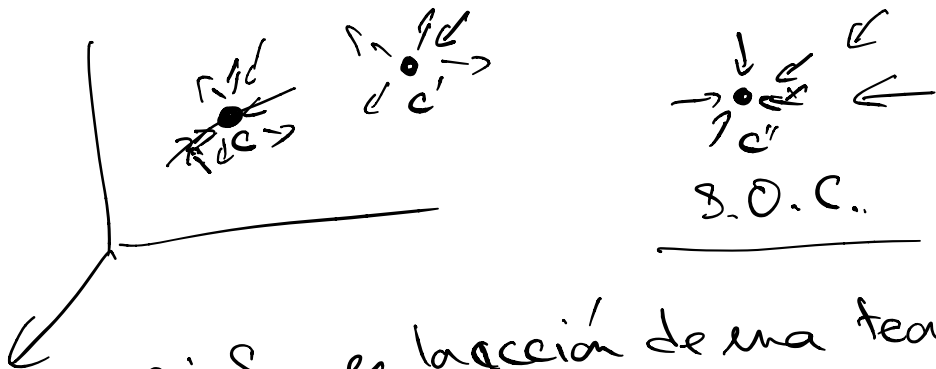


5) Universalidad y puntos críticos



- Si S_0 es la acción de una teoría de campos que representa al punto crítico c
- * S_0 es invariante de escala
 - * S_0 es punto estable en algunas direcciones, e inestable en otras.

"fine tuning"

a S_0 se la obtiene en un conjunto de campos $\{\bar{\phi}_i(\tau)\}_{i=1, \dots, ?}$ ↔ exponentes críticos.

invariancia de escala

$$\langle \bar{\phi}_i(\tau) \bar{\phi}_i(\tau') \rangle \sim \frac{c}{(\tau - \tau')^{2x_i}}$$

$$\bar{r}, \bar{r}' \rightarrow b\bar{r}, b\bar{r}' = \hat{\bar{n}}, \hat{\bar{n}'}$$

$$\underline{\Phi}_i \rightarrow b^{x_i} \underline{\Phi}_i = \underline{\Phi}_i$$

$$\left\langle \hat{\underline{\Phi}}_i(\bar{r}) \hat{\underline{\Phi}}_i(\bar{r}') \right\rangle = \frac{c}{|\bar{r} - \bar{r}'|^{2x_i}}$$

inv. de escala.

$\underline{\Phi}_i$ → dimensión → escala: x_i

Balón del punto crítico.

$$S = S_0 + \int d^D \bar{r} \sum_i g_i \underline{\Phi}_i(\bar{r})$$

Como caso particular, hay un solo $\underline{\Phi}_i$:

$$\rightarrow S = S_0 + \int d^D \bar{r} g_i \underline{\Phi}_i(\bar{r})$$

$$[\underline{\Phi}_i] = L^{-x_i} \quad [g_i] = L^{x_i - D}$$

a primer orden, R.G.

$$\boxed{\frac{dg_i}{dx_i} = (D - x_i) g_i}$$

si $x_i > D$ $g_i(x) \xrightarrow{x \rightarrow \infty} 0$

perturbación irrelevantе.

$$\text{si } x_i < 0 \quad \alpha_i(t) \xrightarrow[t \rightarrow \infty]{} \infty$$

perturbación relevante.

Ejemplo: Φ_E , que podremos en $T \neq T_c$

$$\rightarrow S = S_0 + \int d^3r t \frac{\Phi_E}{T-T_c}$$

$$x_E = D - \frac{1}{D}$$

∇ Considerando:

O.P.E.

$$\Phi_i(\vec{r}) \Phi_j(\vec{r}_2) \xrightarrow{|\vec{r}_1 - \vec{r}_2| \rightarrow 0} \sum_k \Phi_k^{(m)}$$

$$\frac{\Phi_i(\vec{r}_1) \Phi_j(\vec{r}_2)}{\vec{r}_1 \rightarrow \vec{r}_2} \xrightarrow{\vec{r}_1 \rightarrow \vec{r}_2} \sum_k \Phi_k^{(m)} \frac{c_{ijk}}{\|\vec{r}_1 - \vec{r}_2\|^{x_i + x_j - x_k}}$$

\uparrow interacción
y rotación.

Si Φ_i y Φ_j son invariantes bajo una acción de simetría:

por para Tring

$$\int d^D \vec{r} \left[\frac{k}{2} (\nabla \phi)^2 + \frac{c}{2} \phi^2 + m \phi^4 + \dots \right] + b \cancel{\times}$$

Simetría. $\phi \rightarrow -\phi$

$$T_i = \phi^2, \bar{T}_j = \phi^4$$

inv. bajo $\phi \rightarrow -\phi$

$$\phi^2 \cdot \phi^4 = \sum_k \phi^3, \phi^3, \phi^5, \dots$$

$$\phi^2, \phi^4, \phi^6, \dots$$

redefinición

$$g_i \rightarrow \frac{1}{S_D} g_i$$

$$S_0 \rightarrow S_0 + \int \sum_i g_i d_i(\vec{r}) d^D \vec{r}$$

R.G. al segundo orden.

$$q_K : \frac{dq_K}{dt} = (D \cdot x_K) q_K - \frac{1}{2} \sum_{i,j} \epsilon_{ijk} q_i q_j + O(q^3)$$

fórmula de Polyakov

ajuste que $c_{i,j} = c_{i,i}, j=1,2$

$$\rightarrow 2 veces \quad c_{12K} g_1 g_2 + c_{21K} g_2 g_1 \\ \left(\begin{array}{l} c_{12K} = c_{21K} \\ = 2c_{12K} g_1 g_2 \end{array} \right)$$

pero $c_{11K} g_1^2$ es muy grande.

$$S_0 + \int d^D \vec{r} \left[g_1 \overline{\Phi}_1(\vec{r}) + g_2 \overline{\Phi}_2(\vec{r}) \right]$$

O.P.E

$$\overline{\Phi}_1(\vec{r}) \overline{\Phi}_2(\vec{r}_2) \rightarrow C \frac{\overline{\Phi}_3(\vec{r})}{|\vec{r}_1 - \vec{r}_2|^{D+1-\gamma_1-\gamma_2}}$$

va a aparecer en términos $\overline{g_3 \overline{\Phi}_3(\vec{r})}$ $\delta^D \vec{r}$

→ en general, si se fija

$$S_0 + \int d^D \vec{r} \overline{\Phi}_A(\vec{r}) g_A + g_B \overline{\Phi}_B + g_C \overline{\Phi}_C + g_D \overline{\Phi}_D +$$

→ hay que poner todos los otros compuestos generados por $\overline{\Phi}_A$ $\overline{\Phi}_A \overline{\Phi}_A \rightarrow \overline{\Phi}_B$

$$\text{luego } \overline{\Phi}_A \overline{\Phi}_B \rightarrow \overline{\Phi}_A$$

$$\mathcal{L}_B \mathcal{L}_R \rightarrow \mathcal{L}_S$$

ejemplo

$$S_{GL} = \int d^D r \left[\frac{\kappa}{2} (\vec{\nabla} \phi)^2 + \mu \phi^4 \right] + \underbrace{\phi^6 + \phi^8 + \dots}_{\text{D} < 4 : \text{irrelevantes.}}$$

\uparrow

$$\phi^4 \cdot \phi^4 \rightarrow \phi^2 + \phi^4 + \phi^6 + \dots$$

$$\phi^6 \cdot \phi^6 \rightarrow \phi^2, \phi^4, \phi^6, \phi^8, \dots$$

ejemplo, Imiting trin-anticino

$$S_{GL} = \int d^D r \left[\frac{\kappa}{2} (\vec{\nabla} \phi)^2 + \mu_6 \phi^6 \right] + \cancel{\phi^4} + \cancel{\phi^2}$$

$\uparrow \mu$

$$\phi^4 \cdot \phi^6 \rightarrow \phi^2 + \phi^4 + \phi^6 + \dots$$

ejemplo el modelo O(n)

$$S = \int d^P \vec{\phi} \left[\frac{1}{2} \sum_m (\partial_m \vec{\phi})^2 + \frac{1}{2} \vec{\phi}^2 + m (\vec{\phi}^2)^2 \right]$$

$$\vec{\phi} = \begin{pmatrix} \phi_1 \\ \vdots \\ \phi_n \end{pmatrix} \leftarrow n=1 = \text{Iniq.}$$

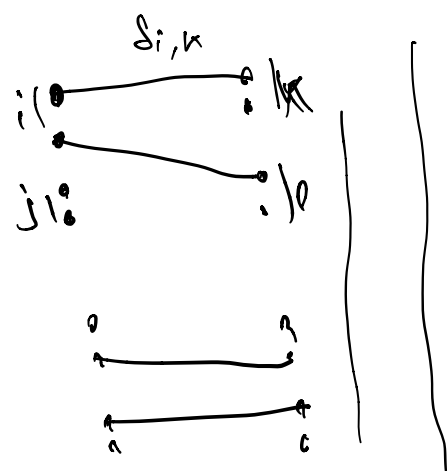
$$(\vec{\phi}^2)^2 \quad (\vec{\phi}^2)^2 \rightarrow (\vec{\phi}^2)^2$$

$$(\sum_i \phi_i^2) (\sum_j \phi_j^2) - (\sum_k \phi_k^2) (\sum_\ell \phi_\ell^2)$$

i is \leftrightarrow k.

$$\frac{\langle \phi_i(\vec{n}) \phi_k(\vec{n}) \rangle_{\text{min}}}{2 \times 2 \times 2 \times n} \neq 0 \text{ for } i \neq k$$

$\rightarrow 8n$ runs.



C independ de n.

$$C_{\mu\mu\mu} = 8n + C?$$

Caso particular de 2ing ($n=1$)

$$\frac{(4 \cdot 3)^2}{2} = 12$$

C_{max} para $n=1$ vale 12 $\Rightarrow C = 64$

$$C_{\text{max}} = 8(n+8)$$

\rightarrow R.G. en la linea critica $t_{\text{eff}} = 0$

$$\frac{d\mu}{dt} = (\epsilon - \chi_{\text{eff}})\mu - \frac{1}{2}C_{\text{max}}\mu^2$$

$$\epsilon - \chi_{\text{eff}} = \epsilon$$

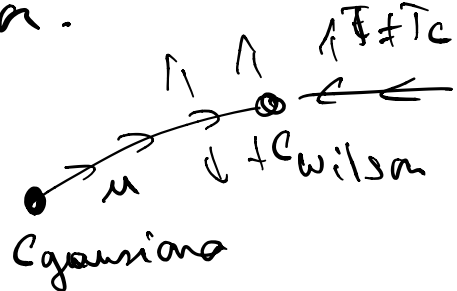
$$\frac{d\mu}{dt} = \epsilon\mu - \frac{1}{2}(n+8)\mu^2$$

$$\text{punto fijo } \mu^* = \frac{\epsilon}{n+8}$$

$$\text{escribimos } \mu = \mu^* + \delta\mu$$

$$\begin{aligned}\frac{d\delta\mu}{dt} &= \epsilon\delta\mu - \frac{1}{2}(n+8)\mu^*\delta\mu \\ &= \epsilon\delta\mu - 2\epsilon\delta\mu \\ &= -\epsilon\delta\mu\end{aligned}$$

$\delta u \rightarrow 0$
 $t \rightarrow \infty$
 u^* es un punto fijo al restringir en
 una dirección.



Si hay varias constantes:

$$\frac{dg_k}{dt} = (D - \gamma_k) g_k - \frac{1}{2} \sum_{ijk} g_i g_j c_{ijk}$$

→ punto fijo $g_i^* \neq g_j^*$

$$\forall k \quad (D - \gamma_k) g_k^* - \frac{1}{2} \sum_{ijk} g_i^* g_j^* c_{ijk} = 0$$

Si $g_i = g_i^* + \delta g_i$ y linealizamos.

$$\frac{d}{dt} \begin{pmatrix} \delta g_1 \\ \vdots \\ \delta g_N \end{pmatrix} = M \begin{pmatrix} \delta g_1 \\ \vdots \\ \delta g_N \end{pmatrix}$$

$$\mu_{ij}^* = (D - \chi_i) \delta_{ij} - \sum_k C_{kj} g_k^*$$

\rightarrow se van los autovalores de Δ^+

\rightarrow los autovalores negativos

\rightarrow perturbaciones irrelevantes

\rightarrow los positivos

\rightarrow perturbaciones relevantes

para Zing : ajustan $a_2 \alpha^t$

" Zing tri-ártico : ajustan a_2/t y M_{ay}

Zing multi-ártico

$$\int d^3r \left[k (\vec{\nabla} \phi)^2 + M_{2n} \phi^{2n} \right]$$

$n=2$ Zing -

$n=3$ Zing - tri.

$n=4$ Zing tetra

:

Propiedades de los puntos críticos de
teclas locales. (Polyakov 1969 - 1970)

Un sistema higínico, isotrópico.

→ inv. para translación, y para rotación.

$$\left(\begin{array}{l} \text{+ inv. tras } \vec{r} \rightarrow \vec{r} + \vec{u} \\ \text{+ inv. rotaciones } \vec{r} \rightarrow R\vec{r} \end{array} \right) \quad \left(\begin{array}{l} \text{+ inv. dilataciones } \vec{r} \rightarrow b\vec{r} \end{array} \right)$$

→ invariancia: transf. conforme especial

$$\vec{r} \rightarrow \vec{r}' = \frac{\vec{r}}{\|\vec{r}\|^2}; \quad \vec{r}' \rightarrow \vec{r}'' = \vec{r}' + \vec{u}$$

$$\vec{r}'' \rightarrow \vec{r}''' = \frac{\vec{r}''}{\|\vec{r}''\|^2}; \quad \vec{r} \rightarrow \frac{\vec{u}}{\|\frac{\vec{u}}{\|\vec{r}\|^2} + \vec{u}\|^2}$$

Esto implica que:

$$\underline{S_0} \rightarrow \{\hat{\Phi}_i(\vec{r})\}$$

$$\langle \hat{\Phi}_i(\vec{r}_i) \hat{\Phi}_j(\vec{r}_j) \rangle = \frac{S_{x_i, x_j}}{\|\vec{r}_i - \vec{r}_j\|^2 x_i} \in (1)$$

$$\left(\underline{\phi}_i(\vec{r}_1) \underline{\phi}_j(\vec{r}_2) \underline{\phi}_k(\vec{r}_3) \right) \quad \text{...} \quad (2)$$

$$= \frac{C_{ijk}}{\|\vec{r}_{12}\|^{x_i+x_j-x_k} \|\vec{r}_{23}\|^{x_j+x_k-x_i} \|\vec{r}_{13}\|^{x_i+x_k-x_j}}$$

$$\vec{r}_{\alpha\beta} = \vec{r}_\alpha - \vec{r}_\beta$$

para (1):

$$\vec{r} \rightarrow b\vec{r} \quad \underline{\phi}_i \rightarrow b^{x_i} \underline{\phi}_i$$

para el T. C. esp. infinitesimal. (\vec{m} infinito)

$$\vec{r}''' = \vec{r} + \delta\vec{r} \quad y \quad \delta\vec{r} = \vec{r}^2 \vec{m} - 2(\vec{m} \cdot \vec{r}) \vec{m} + O(\epsilon^2)$$

na traslacion infinit. $\delta\vec{r} = \vec{m}$

na dilat. infinita $b = (1 + \delta\epsilon) \quad \delta\vec{r} = \delta\delta\vec{r}$

$$\delta\vec{r} = \vec{r}^2 \vec{m} - 2(\vec{m} \cdot \vec{r}) \vec{m} + O(\epsilon^2)$$

\uparrow
traslacion
local.
 \swarrow
dilatacion
local.

$$(d\vec{r}''')^2 = \underbrace{(1 - 4(\vec{m} \cdot \vec{r}))}_{\delta\epsilon^2} d\vec{r}^2 + O(\epsilon^2)$$

$$b = (1 - 2\chi_i(\vec{m}, \vec{n}))$$

$$\langle \phi_i(\vec{r}_1) \phi_j(\vec{r}_2) \rangle = f(\|\vec{r}_1 - \vec{r}_2\|)$$

time, per los
y rot.

$$\vec{r} \rightarrow b\vec{r} \quad \phi_i(\vec{r}) \rightarrow b^{x_i} \phi_i(b\vec{r})$$

per la T.C. Exp. infinit.

$$\phi_i(\vec{r}_1) \rightarrow (1 - 2\chi_i(\vec{m}, \vec{r}_1)) \phi_i(\vec{r}_1 + \delta\vec{r}_1)$$

idem $\phi_j(\vec{r}_2)$

$$\vec{r} = \vec{r}_1 - \vec{r}_2 \quad \text{y} \quad r = \|\vec{r}_1 - \vec{r}_2\|, \quad \delta\vec{r} = \delta\vec{r}_1 - \delta\vec{r}_2$$

$$f(r) \rightarrow \underbrace{(1 - 2\chi_i(\vec{m}, \vec{r}_1))}_{(1 - 2\chi_j(\vec{m}, \vec{r}_2))} \underbrace{f(\|\vec{r} + \delta\vec{r}\|)}_{\downarrow}$$

$$f(r) \rightarrow f(r) + \delta f(r)$$

$$\delta f = \underbrace{\left[-2\chi_i(\vec{m}, \vec{r}_1) - 2\chi_j(\vec{m}, \vec{r}_2) \right]}_0 f + \underbrace{\delta \vec{r} \cdot \nabla f}_{\uparrow \text{invariante}} = 0$$

resulta que $\delta \vec{r} = -(\vec{r}_1 + \vec{r}_2) \vec{r}$

Decir que $\nabla_{\vec{r}} \cdot \vec{\nabla} f = -(\vec{e}_1 \cdot \vec{r}_1 + \vec{e}_2 \cdot \vec{r}_2) r \frac{\partial f}{\partial r}$

$$f' = 0 \Leftrightarrow x_i = x_j \quad f(r) = \frac{c r^e}{r^{2x_i}}$$

invariancia de escala:

$\forall D$ inv. de escala implica la invariancia por el grupo conforme.

$$(dr)^2 \rightarrow (dr')^2 = f(r) dr'^2$$

$$r \rightarrow r'$$

$$\text{métrica } \begin{pmatrix} 1 & 0 & 0 \\ 0 & 1 & 0 \\ 0 & 0 & 1 \end{pmatrix} \rightarrow f(r) \begin{pmatrix} 1 & 0 & 0 \\ 0 & 1 & 0 \\ 0 & 0 & 1 \end{pmatrix}$$

Pero, para $D=2$, el grupo conforme es de dim. ~~2~~!

$$\begin{pmatrix} x \\ g \end{pmatrix} \rightarrow z = x + i g$$

$\forall f$ doblar f .

$z \rightarrow f(z)$ estira T.C.

$$g \rightarrow |f(z)|^2 g.$$

"en 2-D), los puntos críticos tienen una "infinitud" de simetrías

→ Teorías conformes en 2-D.

→ informaciones exactas para un gran número de modelos (Ising, Ising-multiplic..)

Modelo de Potts.

σ : puede tener q valores diferentes

$$H_{\text{Potts}} = -J \sum_{\langle i,j \rangle} \delta_{\sigma_i, \sigma_j}$$

$$q=3$$

$$\begin{array}{c} f \rightarrow Rf \\ \downarrow \\ f \rightarrow -f \end{array}$$

hábitos coquiables.